

УДК 519.178

## О ПОИСКЕ АНТИПОДАЛЬНЫХ ВЕРШИН В СИММЕТРИЧНОМ ГРАФЕ КЭЛИ ГРУППЫ БУЛЕВА КУБА

*И. М. Хузиев*<sup>1</sup>

<sup>1</sup>Московский физико-технический институт,  
ул. Первомайская, 5, корп. 2, 141700 Долгопрудный, Россия  
e-mail: ilnur.khuziev@yandex.ru

**Аннотация.** Вводится отношение антиподальности в графе и задача поиска антиподальной вершины. Приводится вероятностный алгоритм решения оракульной задачи для симметричного графа Кэли над группой  $\mathbb{Z}_2^n$ , когда число запросов к оракулу полиномиально по степени вершин. Ил. 1, библиогр. 5.

**Ключевые слова:** граф, автоморфизм, антиподальность, оракул.

### Введение

В данной работе рассматриваются оракульные задачи поиска на графах. Оракульные задачи (решающие деревья) имеют доступ к входу через оракул. Сложность алгоритма измеряется количеством запросов к оракулу. В задаче с априорной информацией предполагается, что вход задачи удовлетворяет некоторым свойствам. Другими словами, алгоритм решения задачи обязан корректно работать не на всех входах, а только на тех, которые удовлетворяют указанным свойствам.

Одним из видов оракульных задач являются задачи поиска на графах. Задано семейство графов  $F$ , оракул предоставляет доступ к следующей информации: ячейкам матрицы смежности графа, изоморфного  $f_n \in F$ , числу  $n$ , имени начальной вершины. Требуется найти вершину, «парную» к начальной (отношение, в котором должны стоять начальная вершина и верный ответ алгоритма, определяется конкретной задачей). Например, требуется найти вершину, находящуюся на расстоянии диаметра.

Ниже формулируем частный случай такой задачи — задачу поиска антиподальной вершины — и приводим достаточно эффективный вероятностный алгоритм её решения для симметричных графов Кэли группы  $\mathbb{Z}_2^n$ .

Эта задача связана с одним из самых важных вопросов современной теоретической информатики — сравнением возможностей классических и квантовых алгоритмов.

Известно некоторое количество оракульных задач с априорной информацией (promise problem), в которых квантовые алгоритмы экспоненциально лучше классических (см., например, [2]).

В [3] показано, что квантовое блуждание<sup>1)</sup> экспоненциально быстрее любого оракульного вероятностного алгоритма находит диаметрально противоположную вершину в специально построенном семействе графов.

Возникает вопрос: в каких семействах графов можно доказать экспоненциальный разрыв с помощью квантового блуждания и аналогичной оракульной постановки задачи? В [3] показывается, что для задачи поиска диаметрально противоположной вершины в булевом кубе разрыв не более чем полиномиальный. Естественным обобщением графа булева куба являются симметричные графы Кэли над группой  $\mathbb{Z}_2^n$ , свойства которых рассматриваются в разд. 1.

**Определение 1.** *Граф Кэли*  $\text{Cay}(G, S)$  над группой  $G$  с множеством образующих  $S$  — это граф  $(V, E)$ , где  $V = G$ , и  $(v_1, v_2) \in E$  равносильно существованию такого  $e \in S$ , что  $ev_1 = v_2$ . Будем предполагать, что  $S^{-1} = S$  (граф неориентированный) и  $1 \notin S$  (вершины не имеют петель). Если  $S = \{e \in \mathbb{Z}_2^n \mid |e| = s\}$ , то  $\text{Cay}(\mathbb{Z}_2^n, S)$  будем обозначать через  $\text{Cay}(s)$ .

Квантовое блуждание в булевом кубе исследовалось в [4]. Оно обладает таким свойством: начавшись в вершине  $(0, \dots, 0) \in \mathbb{Z}_2^n$ , квантовое блуждание в некоторый момент времени сконцентрировано в вершине  $(1, \dots, 1) \in \mathbb{Z}_2^n$ . В графе  $\text{Cay}(s)$  квантовое блуждание обладает аналогичным свойством [5], но в отличие от булева куба и склеенных бинарных деревьев из [3] для вершины из  $\text{Cay}(s)$  может существовать несколько вершин, отстоящих от данной на расстояние диаметра графа. Поэтому требуется сформулировать другую оракульную задачу. Для этого требуется ответить на вопрос: можно ли по матрице смежности графа, изоморфного  $\text{Cay}(s)$ , понять, какие пары вершин являются диаметрально противоположными в терминах расстояния Хэмминга?

В данной работе даётся положительный ответ на этот вопрос. Для этого в разд. 2 вводится понятие антиподальной вершины. Отношение антиподальности и постановка оракульной задачи для поиска антиподальной вершины обобщают задачу поиска диаметрально противополо-

<sup>1)</sup>Квантовое блуждание является естественным обобщением классического случайного блуждания и исследуется во многих работах. Достаточно подробно о квантовом блуждании можно прочитать в [4, 5].

ложной вершины из [3].

Главным результатом этой статьи является вероятностный алгоритм поиска антиподальной вершины в  $\text{Ca}_u(s)$  (разд. 2). Из оценки на число запросов к оракулу этого алгоритма следует, что при фиксированных  $s$  разрыв между классическими и квантовыми алгоритмами в оракульной задаче поиска антиподальной вершины в графе  $\text{Ca}_u(s)$  не более чем полиномиальный.

Корректность алгоритма поиска антиподальной вершины основана на теореме о локальных связях, которая доказывается в разд. 3. Результат теоремы 3 интересен и сам по себе. При рассмотрении графов  $\text{Ca}_u(s)$  полезным инструментом оказывается граф слоёв (слой — множество вершин с одинаковым весом Хэмминга), получаемый из графа отождествлением всех вершин слоя. Теорема о локальных связях утверждает, что если между парой вершин в графе  $\text{Ca}_u(s)$  есть путь длины 2, то проекции всех путей длины 2 между этими вершинами дают в графе слоёв все пути длины 2 между проекциями этих вершин.

## 1. Структура графа $\text{Ca}_u(s)$

В общем случае задача описания группы автоморфизмов графа является сложной, но для  $\text{Ca}_u(s)$  её удаётся решить.

В [1] доказано, что всякий автоморфизм графа  $\text{Ca}_u(s)$  сохраняет хэммингово расстояние 2 при  $s \notin \{\frac{n}{2}, \frac{n-1}{2}, \frac{n+1}{2}, n\}$ .

Данный результат позволяет без особого труда доказать следующие утверждения.

**Теорема 1** [1]. Пусть  $s \notin \{\frac{n}{2}, \frac{n-1}{2}, \frac{n+1}{2}, n\}$  и  $s$  нечётно. Тогда множество автоморфизмов  $\text{Ca}_u(s)$  совпадает с автоморфизмами булева куба  $\text{Ca}_u(1)$ .

**Замечание 1.** Всякий автоморфизм булева куба  $f$  может быть представлен в виде  $f = h \circ g$ , где  $g$  — сдвиг, а  $h$  — перестановка координат.

Автоморфизм сдвига, порождённый вектором  $v_0 = (x_1, \dots, x_n)$ , где  $x_i \in \mathbb{Z}_2$ , действует по правилу  $g_{v_0}(u) = u + v_0$ .

Автоморфизм перестановки координат, порождённый перестановкой на  $n$  элементах  $\sigma$ , действует по правилу  $f_\sigma(v) = (x_{\sigma^{-1}(1)}, \dots, x_{\sigma^{-1}(n)})$ .

**Теорема 2.** Пусть  $s \notin \{\frac{n}{2}, \frac{n-1}{2}, \frac{n+1}{2}, n\}$  и  $s$  чётно. Тогда каждая из двух компонент связности графа  $\text{Ca}_u(s)$  имеет множество автоморфизмов, порождённое сдвигами на векторы чётного веса Хэмминга и перестановками координат.

Опишем некоторые свойства графов  $\text{Cay}(s)$ , которые потребуются далее. Отдельно отметим лемму 1, из которой следуют теоремы 1 и 2 при дополнительном ограничении  $6s \leq n$ .

Для полноты изложения приведём доказательство широко известного утверждения.

**Утверждение 1.** Пусть  $s < n$ . Тогда

(i) если  $s$  чётно, то  $\text{Cay}(s)$  имеет 2 компоненты связности — вершины чётного и нечётного весов;

(ii) если  $s$  нечётно, то граф  $\text{Cay}(s)$  имеет одну компоненту связности.

**ДОКАЗАТЕЛЬСТВО.** Обозначим линейную оболочку множества  $S$  (в пространстве  $\mathbb{Z}_2^n$ ) через  $\text{Lin}(S)$ . Легко видеть, что множество вершин, достижимых из  $v$ , равно  $v + \text{Lin}(S) = \{v + e \mid e \in \text{Lin}(s)\}$ .

(i) Все элементы  $\text{Lin}(S)$  имеют чётный вес. Покажем, что  $\text{Lin}(S)$  содержит все векторы веса 2. Рассмотрим произвольные числа  $m \neq k$  (номера координат). Выберем некоторый вектор  $e_1 \in S$ , имеющий единицу на  $k$ -й позиции и нуль на  $m$ -й; вектор  $e_2$  строится из вектора  $e_1$  инвертированием  $m$ -й и  $k$ -й координат. Тогда вектор  $e_1 + e_2 \in \text{Lin}(S)$  имеет единицы только в  $m$ -й и  $k$ -й координатах. Следовательно,  $\text{Lin}(S)$  содержит все векторы чётного веса. Значит, если разность двух векторов имеет чётный вес, то они лежат в одной компоненте связности.

Используя соотношение  $|v + u| \equiv |v| + |u| \pmod{2}$ , получаем, что вершины чётного и нечётного весов не могут быть связаны в графе  $\text{Cay}(s)$ .

(ii) Аналогично п. (i)  $\text{Lin}(S)$  содержит все векторы чётного веса. Так как  $\text{Lin}(S)$  содержит вектор нечётного веса,  $\text{Lin}(S)$  также содержит все векторы веса 1. Но эти векторы порождают всё пространство  $\mathbb{Z}_2^n$  (они образуют базис). Утверждение 1 доказано.

**Определение 2.** Слоем веса  $p$  называется множество  $L_p = \{v \in V \mid |v| = p\}$ . Будем для удобства ассоциировать слой и его вес.

**Определение 3.** Определим граф слоёв. Множество вершин этого графа есть  $V' = \{L_p \mid p \in \{1, \dots, n\}\}$ . Множество рёбер  $E'$  состоит из таких пар слоёв  $(L_p, L_q)$ , что найдутся вершины  $v \in L_p$ ,  $u \in L_q$ , между которыми есть ребро в  $\text{Cay}(s)$ :  $(v, u) \in E$ .

**Утверждение 2** (связность слоёв). Слои, связанные со слоем  $l$ , составляют множество

$$N(l) = \{t \in [|l - s|, \min(l + s, 2n - (l + s))] \mid t \equiv |l - s| \pmod{2}\}.$$

ДОКАЗАТЕЛЬСТВО. Пусть вершина  $v$  имеет вес  $l$  и вершина  $u$  — сосед  $v$ . Значит, существует образующая  $e$  такая, что  $|e| = s$  и  $u = v + e$ . Обозначим вектор  $(v_1 \cdot u_1, \dots, v_n \cdot u_n)$  через  $v \cap u$ .

Пусть  $p = |e \cap v|$  — число координат, которые равны единице в векторах  $e$  и  $v$ . Ясно, что  $p$  не может быть меньше  $l + s - n$ . Значит,

$$\max(0, l + s - n) \leq p \leq \min(|v|, |e|) = \min(l, s). \quad (1)$$

Заметим, что (i)  $l - p$  координат равны единице в векторе  $v$ , но равны нулю в  $e$ , (ii)  $s - p$  координат равны единице в векторе  $e$ , но равны нулю в  $v$ . Отсюда

$$|u| = (l - p) + (s - p) = (l + s) - 2p. \quad (2)$$

Объединяя (1) и (2), получаем

$$(l + s) - 2 \min(l, s) \leq |u| \leq l + s - 2 \max(0, l + s - n). \quad (3)$$

Поскольку  $(l + s) - 2 \min(l, s) = |l - s|$ , из (3) следует включение:

$$N(l) \subset \{t \in [|l - s|, \min(l + s, n - (l + s - n))] | t \equiv |l - s| \pmod{2}\}.$$

Для доказательства включения в обратную сторону достаточно заметить, что оценка (1) точна для всех  $v$ . Утверждение 2 доказано.

**Утверждение 3** (число связей). Дан граф  $\text{Cay}(s)$ . Пусть  $(l, t) \in E'$ . Тогда каждый вектор  $v$ ,  $|v| = l$ , имеет

$$\binom{l}{(s+l)/2 - t/2} \binom{n-l}{(s+t)/2 - l/2}$$

соседей веса  $t$  в графе  $\text{Cay}(s)$ .

ДОКАЗАТЕЛЬСТВО. Пусть  $|v| = l$ ,  $e \in S$  и  $p = |e \cap v|$ . Тогда  $|v + e| = t$  равносильно условию  $(l - p) + (s - p) = t$ . Значит,  $p = (s + l - t)/2$ . Число векторов  $e$  таких, что  $|e| = s$ ,  $|e \cap v| = p$ , равно

$$\binom{l}{p} \binom{n-l}{s-p} = \binom{l}{(s+l)/2 - t/2} \binom{n-l}{(s+t)/2 - l/2}.$$

Утверждение 3 доказано.

**Лемма 1.** Определим

$$k(l) = \binom{l}{l/2} \binom{n-l}{s-l/2}$$

для  $0 \leq l \leq 2(s-1)$ , где  $l$  чётно. Пусть  $6s \leq n$ . Тогда  $k(l+2) < k(l)$ .

ДОКАЗАТЕЛЬСТВО. Из определения получаем

$$k(l+2) = k(l) \frac{(l+1)(l+2)(s-l/2)(n-l-s+l/2)}{(l/2+1)^2(n-l-1)(n-l)}.$$

Утверждение леммы следует из следующей оценки:

$$\begin{aligned} & \frac{(l+1)(l+2)(s-l/2)(n-l-s+l/2)}{(l/2+1)^2(n-l-1)(n-l)} \\ &= \frac{4(l+1)(s-l/2)(n-l-s+l/2)}{(l+2)(n-l-1)(n-l)} \leq 4 \frac{l+1}{l+2} \frac{s(n-s)}{(n-2s+1)(n-2s+2)} \\ &< 4 \frac{(n/s-1)}{(n/s-2+1/s)(n/s-2+2/s)} \leq 4 \frac{(n/s-2)}{(n/s-2)(n/s-2)} \leq 1. \end{aligned}$$

Лемма 1 доказана.

Ниже приводятся доказательства теорем 1 и 2. Как показано в [1], в них достаточно использовать равенство  $\arg \max_l k(l) = 2$ . Однако далее потребуются и доказанная в лемме 1 монотонность функции  $k(l)$ . Из этой леммы также следует, что  $\arg \max_l k(l) = 2$  при  $6s \leq n$ .

**Следствие 1.** Пусть  $s \notin \{\frac{n-1}{2}, \frac{n}{2}, \frac{n+1}{2}, n\}$ ,  $f \in \text{Aut } G(s)$ . Если  $0^n$  является неподвижной точкой  $f$ , то каждый слой под действием  $f$  переходит в себя.

ДОКАЗАТЕЛЬСТВО. Убедимся, что в случае нечётного  $s$  достаточно показать, что множество  $L_1$  инвариантно относительно действия автоморфизма  $f$ .

Действительно, пусть доказано

**Утверждение 4.** Всякий автоморфизм  $f$ , сохраняющий точку  $v$ , сохраняет множество  $L_1^v = \{u \in V \mid |v-u| = 1\}$ .

Тогда для автоморфизма  $f$  существует такая перестановка координат  $\sigma$ , что  $f_\sigma \circ f$  сохраняет все точки множества  $L_1$ . Применив для автоморфизма  $f_\sigma \circ f$  утверждение 4 ко всем точкам множества  $L_1$ , получим, что  $L_2$  сохраняется под действием  $f_\sigma \circ f$ , т. е.  $L_2$  сохраняется и под действием  $f$ . Продолжая эти рассуждения, получим, что сохраняются все слои.

В случае чётного  $s$  аналогично показывается, что из инвариантности множества  $L_2$  следует утверждение теоремы 2.

Перейдём теперь к доказательству инвариантности первого и второго слоёв.

Если  $0^n$  неподвижна, то множество  $L_s$  также инвариантно.

Пусть  $k(v)$  — число вершин  $u$  таких, что  $(v, u) \in E$  и  $|u| = s$ . Так как  $L_s$  и матрица смежности инвариантны, то  $k(v) = k(f(v))$ . Значит, функция  $k(v)$  зависит только от веса вектора  $v$ . Из утверждения 3 имеем  $k(l) = k(v)$ , где  $|v| = l$ .

Для каждого  $l \notin [0, 2s]$  выполнено  $k(l) = 0$ . В силу леммы 1 если  $l, l' \in [0, 2s]$  и  $l, l'$  чётны, то  $k(l) \neq k(l')$ . Поэтому из утверждения 2 следует  $k(l) \neq k(l')$  для любых слоёв  $l, l'$ , связанных со слоем  $s$ .

Стало быть, если  $v \in L_l$ ,  $l \in [0, 2s]$ ,  $l$  чётно, то  $f(v) \in L_l$ . Другими словами,  $L_l$  инвариантно.

Пусть  $s$  чётно. С учётом вышесказанного  $L_2$  инвариантно.

Пусть  $s$  нечётно. Тогда слои  $L_{s-1}$  и  $L_{s+1}$  инвариантны. Используя условие  $6s \leq n$  и утверждение 2, получаем, что  $L_1$  — единственный слой, который связан только со слоями  $s-1$  и  $s+1$ . Значит,  $L_1$  инвариантно. Следствие 1 доказано.

## 2. Отношение антиподальности

**Определение 4.** Пусть дан граф  $G$ . Вершина  $u$  называется *антиподальной* для вершины  $v$ , если для любого автоморфизма  $f \in \text{Aut } G$ , сохраняющего вершину  $v$ ,  $f(v) = v$ , выполняется также  $f(u) = u$ .

**Замечание 2.** В общем случае отношение антиподальности является рефлексивным и транзитивным, но необязательно симметричным.

Определим теперь оракульную задачу поиска антиподальной вершины в регулярном графе. Пусть  $G = (V, E)$  — граф и  $|V| \leq 2^n$ . Функция  $f : V \rightarrow \{0, 1\}^{2^n}$  задаёт отображение вершин в имена (строки). Число возможных имён экспоненциально больше числа вершин.

Алгоритм может отправить оракулу имя вершины и число. Оракул ответит именем соседа переданной вершины, соответствующего переданному числу. Если имя вершины или число некорректны, то оракул возвращает пустую строку.

Алгоритму на вход подаётся имя любой вершины  $v$ . Алгоритм решает задачу поиска антиподальной вершины, если на выходе будет выведено имя одной из антиподальных к  $v$  вершин.

*Сложностью алгоритма* будем называть число его запросов к оракулу в худшем случае. *Сложностью задачи* (на семействе графов) назовём минимальную сложность алгоритма, решающего задачу.

Через  $f(G) = (f(V), f(E))$  обозначим образ графа  $G$ , порождаемый отображением  $f$ . Заметим, что  $f(G)$  изоморфен  $G$ .

Далее будем рассматривать задачу поиска антиподальной вершины для семейства симметричных графов Кэли над группой  $\mathbb{Z}_2^n$ .

Будем называть *условиями связности* условия (i)  $s \notin \{n, \frac{n}{2}, \frac{n-1}{2}, \frac{n-1}{2}\}$ , (ii) либо  $s$  нечётно, либо  $n$  чётно. Заметим, что условие (ii) необходимо и достаточно для того, чтобы противоположные вершины находились в одной компоненте связности  $\text{Cay}(s)$ . (Вершину  $v$  называем *противоположной*  $u$ , если  $|u - v| = n$ .)

Результаты разд. 1 говорят, что если выполнены условия связности, то каждая вершина  $\text{Cay}(s)$  имеет ровно одну антиподальную вершину: согласно теоремам 1 и 2 единственная вершина из  $L_n$  является антиподальной, найдутся перестановки, которые не сохраняют вершины из слоёв  $L_p$ ,  $p \neq n$ , (например, циклическая перестановка  $\sigma = (2, 3, \dots, n, 1)$  не сохраняет ни одной вершины, кроме  $0^n$  и  $1^n$ ).

**Теорема 3.** Пусть  $s \leq n/6$  и выполнены условия связности. Тогда существует вероятностный алгоритм, который решает задачу поиска антиподальной вершины с вероятностью  $1 - o(1)$  и число запросов к оракулу равно  $O(m^4 \frac{n}{s})$ , где  $m = \binom{n}{s}$  — степень вершин графа.

**Замечание 3.** Тривиальной верхней оценкой для связных графов является  $2|E| = \sum_{v \in V} \deg v$ : за такое число запросов можно узнать всю структуру графа, запросив в каждой вершине имена всех её соседей. Если  $s$  растёт не слишком быстро, то приводимый алгоритм экспоненциально (по  $n$ ) лучше тривиальной оценки.

Ниже приведено описание вспомогательного алгоритма по шагам, затем показана корректность алгоритма. Количество запросов к оракулу, которое делает вспомогательный алгоритм, очевидно из описания. Этот алгоритм используется как процедура при построении алгоритма для теоремы 3.

**2.1. Описание вспомогательного алгоритма.** Пусть  $v_0$  — имя начальной вершины. Без ограничения общности можно считать, что  $v_0$  — образ вершины  $0^n$ .

#### Шаг инициализации

1. Алгоритм делает  $m$  запросов, чтобы узнать имена всех соседей  $v_0$ . Полученное множество обозначим через  $N(v_0)$ .

2. Алгоритм выбирает случайный элемент  $v_1 \in N(v_0)$ .

3. Для каждого  $u$  — соседа  $v_1$  (т. е.  $(u, v_1) \in f(E)$ ) — алгоритм находит вес вершины  $f^{-1}(u)$ , выполняя следующие действия:

(а) получить имена всех соседей вершины  $u$ ;

(б) вычислить  $x$  — число соседей  $u$  из множества  $N(v_0)$ ;



(с) вычислить  $|f^{-1}(u)| = k^{-1}(x)$ .

Этот шаг требует  $m^2$  запросов.

4. Выполняется присваивание  $t = 1$ .

На шаге  $t$  алгоритм хранит в памяти следующее:

- 1) имя вершины  $v_t$ , причём  $|f^{-1}(v_k)| = ts$ ,
- 2) множество  $N(v_t) = \{u \in f(V) \mid (u, v_t) \in f(E)\}$ ,
- 3) число  $|f^{-1}(u)|$  для каждого  $u \in N(v_t)$ .

Если шаг  $(t + 1)s \leq n$ , то

1. Алгоритм выбирает случайную вершину  $v_{t+1} \in N(v_t)$ , для которой выполнено  $|f^{-1}(v_{t+1})| = (t + 1)s$ .

2. Алгоритм делает  $m$  запросов, чтобы построить множество  $N(v_{t+1})$ .

3. Для каждого  $u \in N(v_{t+1})$  алгоритм вычисляет

$$j(u) = \min_{x \in N(v_t) \cap N(u)} |f^{-1}(x)|.$$

Эта операция требует  $m$  запросов для каждого  $u$ .

Алгоритм вычисляет вес прообраза вершины  $u$  по формуле  $|f^{-1}(u)| = j(u) + s$ .

4. Выполняется присваивание  $t := t + 1$ .

Если  $(t + 1)s = n$ , то

Алгоритм в множестве  $N(v_t)$  находит элемент с весом  $|f^{-1}(u)| = n$  и выдаёт ответ.

Если  $(t + 1)s > n$ , то

1. Алгоритм выбирает произвольную вершину  $v_{t+1} \in N(v_t)$ , для которой выполнено  $|f^{-1}(v_{t+1})| = n - s$ .

2. Алгоритм выбирает случайное число  $i \in \{1, \dots, m\}$ , запрашивает  $i$ -го соседа  $v_{t+1}$  и возвращает ответ оракула.

## 2.2. Доказательство корректности вспомогательного алгоритма.

**Утверждение 5.** *Вспомогательный алгоритм правильно определяет веса вершин  $v_i$  на всех промежуточных шагах. С вероятностью не меньше  $\frac{1}{m}$  алгоритм находит антиподальную вершину.*

**Доказательство.** Рассмотрим шаг инициализации,  $N(v_0)$  — в точности множество  $f(L_s)$ . Выбранный элемент  $v_1$  является элементом веса  $s$ . Согласно лемме 1 функция  $k$  обратима на множестве возможных  $x$ . Значит, число  $k^{-1}(x)$  действительно равно весу прообраза  $|f^{-1}(u)|$ .

Итак, корректность алгоритма на первом шаге проверена. По индукции докажем корректность алгоритма на следующих шагах.

Пусть  $(t+1)s \leq n$ . В предположении корректности предыдущего шага в множестве  $N(v_t)$  должны быть вершины  $u$  со свойством  $|f^{-1}(u)| = (t+1)s$ , т. е. выбор  $v_{t+1}$  возможен. Согласно теореме о локальных связях (разд. 3) для всякой вершины  $u \in N(v_{t+1})$  выполнено соотношение

$$j(u) = |f^{-1}(u)| - s.$$

Таким образом, веса прообразов вершин из  $N_{v_{t+1}}$  определяются алгоритмом корректно.

Если  $(t+1)s = n$ , то в предположении корректности предыдущих шагов ровно один из соседей  $v_t$  является вершиной веса  $n$ . Поэтому алгоритм даёт правильный ответ.

Если  $(t+1)s > n$ , то из утверждения 2 следует, что один из соседей  $v_{t+1}$  является вершиной веса  $n$ . Поэтому с вероятностью  $\frac{1}{m}$  алгоритм даёт правильный ответ. Утверждение 5 доказано.

Легко видеть, что 1) число шагов  $\leq \frac{n}{s}$ , каждый шаг требует  $m^2 + m$  запросов, 2) если  $s \mid n$ , то алгоритм даёт правильный ответ, 3) если  $s \nmid n$ , то алгоритм даёт верный ответ с вероятностью  $\frac{1}{m}$ . В любом случае ответом алгоритма является одна из вершин, связанных со слоем  $n - s$ . Из соображений симметрии вероятность того, что алгоритм даст ответ  $v \in L_p$  из слоя, связанного со слоем  $n - s$ , равна  $\frac{1}{|L_p|m}$ .

**2.3. Доказательство теоремы 3.** Искомый алгоритм повторяет вспомогательный алгоритм  $mn$  раз и возвращает вершину, которая встречается среди ответов вспомогательного чаще всего.

Из неравенства Чебышёва следует, что правильный ответ будет возвращён хотя бы  $\sqrt{n}$  раз с вероятностью  $1 - o(1)$ . Из неравенства Чернова следует, что вероятность того, что вершина  $v \in L_p$  будет возвращена более чем  $\sqrt{n}$  раз, оценивается как  $e^{-2\varepsilon^2 mn}$ , где  $\varepsilon = \frac{1}{\sqrt{n}} - \frac{1}{|L_p|m} = \frac{1+o(1)}{\sqrt{n}}$ . Таким образом, получаем оценку сверху вероятности того, что какая-либо вершина веса меньше  $n$  встречается среди ответов вспомогательного больше чем  $\sqrt{n}$  раз:  $s \binom{n}{2s} e^{-2m} = o(1)$ . Значит, верный ответ будет получен с вероятностью  $1 - o(1)$ .

### 3. Теорема о локальных связях

**Теорема 4.** Пусть вершины  $v, u, q$  таковы, что  $(v, u)$  и  $(u, q) \in E$ ,  $|v| = l$  и  $|q| = t$ . Тогда условие  $(l, x), (t, x) \in E'$  равносильно существованию вершины  $w \in L_x$  такой, что  $(v, w), (w, q) \in E$ .

ДОКАЗАТЕЛЬСТВО. Найдём каждый слой  $x$  такой, что существуют векторы  $e_1, e_2$  веса  $s$ , удовлетворяющие условиям  $|v + e_1| = x$  и  $v + e_1 + e_2 = q$ , и покажем, что найденное множество совпадает с множеством слоёв, смежных со слоями  $l$  и  $t$  (рис. 1).

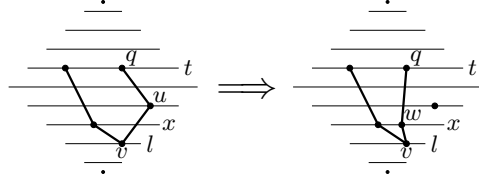


Рис. 1. Теорема о локальных связях.

Можно пропустить путь между вершинами через любой допустимый слой уже выбранные в первой части ( $a + b_1 = l$ ), третья размера  $b_2$  — аналогично для  $q$  ( $a + b_2 = t$ ), четвёртая размера  $d$  — оставшиеся координаты (оба вектора имеют нули).

Пусть  $e_1$  имеет  $\alpha, \beta, \gamma, \delta$  единиц среди координат первой, второй, третьей и четвёртой частей соответственно. Тогда вектор  $e_2$  должен иметь  $\alpha, b_1 - \beta, b_2 - \gamma, -\delta$  единиц в соответствующих частях: в первой и четвёртой — на тех позициях, что и  $e_1$ , во второй и третьей — в тех позициях, где  $e_1$  имеет нуль. Таким образом,  $e_2$  полностью определяется вектором  $e_1$ .

Все параметры удовлетворяют следующим соотношениям:

$$\begin{aligned} b_1 + b_2 &\leq 2s, \\ \alpha &\leq a, \quad \beta \leq b_1, \quad \gamma \leq b_2, \quad \delta \leq d, \quad a + b_1 + b_2 + d = n, \\ |v| + (\gamma + \delta) - (\alpha + \beta) &= |v + e_1|, \end{aligned} \quad (4)$$

$$\alpha + \beta + \gamma + \delta = |e_1| = s, \quad \alpha + (b_1 - \beta) + (b_2 - \gamma) + \delta = |e_2| = s.$$

Последние два соотношения дают  $\beta + \gamma = \frac{b_1 + b_2}{2}$ ,  $\alpha + \delta = s - \frac{b_1 + b_2}{2}$ .

Легко заметить, что если  $(\alpha, \beta, \gamma, \delta)$  удовлетворяет условиям (4), то существуют векторы  $e_1, e_2$  с нужными свойствами.

Вес  $|v + e_1|$  минимален, если вес  $|v \cap e_1|$  максимален. Последнее выполняется при  $\alpha = \min(a, s - \frac{b_1 + b_2}{2})$  и  $\beta = \min(b_1, \frac{b_1 + b_2}{2})$ . Таким образом, получили максимально возможное значение  $x$ :

$$\begin{aligned} \max x &= (a + b_1) + (\gamma + \delta) - (\alpha + \beta) = a + b_1 + s - 2(\alpha + \beta) \\ &= a + b_1 + s - 2(\min(a, s - (b_1 + b_2)/2) + \min(b_1, (b_1 + b_2)/2)) \end{aligned}$$

Заметим, что хэммингово расстояние между  $v$  и  $q$  не больше чем  $2s$  и оно чётно (утверждение 2).

Разделим  $n$  координат на 4 части: первая размера  $a = |v \cap q|$  — координаты, в которых оба вектора  $v$  и  $q$  имеют единицу, вторая размера  $b_1$  — координаты, в которых  $v$  имеет единицу, исключая

$$\begin{aligned} &= \max(s - a - b_1, a + b_1 - s, s - a - b_2, a + b_2 - s) \\ &= \max(|l - s|, |t - s|) = A. \end{aligned}$$

Вес  $|v + e_1|$  максимален, если вес  $|v \cap e_1|$  минимален. Последнее выполнено при  $\delta = \min(d, s - \frac{b_1+b_2}{2})$  и  $\gamma = \min(b_2, \frac{b_1+b_2}{2})$ . Таким образом, получили минимально возможное значение  $x$ :

$$\begin{aligned} |v + e_1| &= (a + b_1) + (\gamma + \delta) - (\alpha + \beta) = a + b_1 - s + 2(\gamma + \delta) \\ &= a + b_1 - s + 2(\min(b_2, (b_1 + b_2)/2) + \min(d, s - (b_1 + b_2)/2)) \\ &= \min((a + b_1 + b_2 + d) + (b_2 + d - s), a + b_1 + s, a + b_2 + s, \\ &\quad (a + b_1 + b_2 + d) + (b_2 + d - s)) \\ &= \min(\min(l + s, 2n - l - s), \min(t + s, 2n - t - s)) = B. \end{aligned}$$

Пусть  $(\alpha, \beta, \gamma, \delta)$  — допустимый набор параметров, соответствующий векторам  $e_1, e_2$ . Заметим, что если набор  $(\alpha', \beta', \gamma', \delta') = (\alpha - 1, \beta, \gamma, \delta + 1)$  допустим, то  $|v + e'_1| = 2 + |v + e_1|$ ; если набор  $(\alpha'', \beta'', \gamma'', \delta'') = (\alpha, \beta - 1, \gamma + 1, \delta)$  допустим, то  $|v + e''_1| = 2 + |v + e_1|$ ; если  $|v + e_1| \neq A$ , то хотя бы один из этих двух наборов допустим.

Другими словами, числа  $B, B + 2, B + 4, \dots, A - 2, A$  — все возможные значения для  $x$ . Таким образом,

$$\{x \mid \exists w \in L_x, (v, w), (v, q) \in E\} = \{x \in [B, A] \mid x \equiv |l - s| \pmod{2}\}.$$

Из утверждения 2 следует, что

$$\{x \mid (x, l), (x, t) \in E'\} = \{x \in [B, A] \mid x \equiv |l - s| \pmod{2}\}.$$

Теорема 4 доказана.

## ЛИТЕРАТУРА

1. Красин В. Ю. О слабых изометриях булева куба // Дискрет. анализ и исслед. операций. Сер. 1. 2006. Т. 13, № 4. С. 26–32.
2. Нильсен М., Чанг И. Квантовые вычисления и квантовая информация. М.: Мир, 2006. 824 с.
3. Childs A. M., Cleve R., Deotto E., Farhi E., Gutmann S., Spielman D. A. Exponential algorithmic speedup by quantum walk // Proc. 35th ACM Symp. Theory of Computing (STOC 2003). P. 59–68.
4. Kempe J. Discrete quantum walks hit exponentially faster // Proc. 7th Int. Workshop Randomization and Approximation Techniques in Computer Science (RANDOM'03). 2003. P. 354–369. (Lect. Notes Comput. Sci.; Vol. 2764).

5. **Khuziev I.** Quantum walk in symmetric Cayley graph over  $\mathbb{Z}_2^n$ . 2013. arXiv:1305.6849

Ильнур Масхудович Хузиев

Статья поступила

3 марта 2014 г.

Исправленный вариант —

26 августа 2014 г.

DISKRETNYYI ANALIZ I ISSLEDOVANIE OPERATSII  
January–February 2015. Volume 22, No. 1. P. 86–99

UDC 519.178

ABOUT SEARCHING FOR ANTIPODAL VERTEXES IN SYMMETRIC  
CAYLEY GRAPHS

*I. M. Khuziev*<sup>1</sup>

<sup>1</sup>Moscow Institute of Physics and Technology,  
5/2 Pervomaiskaya St., 141700 Dolgoprudnyi, Russia  
e-mail: ilnur.khuziev@yandex.ru

**Abstract.** We present the antipodality relation and search for an antipodal vertex. We also give a randomized algorithm solving the oracle problem in symmetric Cayley graphs over group  $\mathbb{Z}_2^n$ . The number of queries is polynomial over the graph's degree. Ill. 1, bibliogr. 5.

**Keywords:** graph, automorphism, antipodality, oracle.

REFERENCES

1. **V. Yu. Krasin**, On the weak isometries of the Boolean cube, *J. Appl. Ind. Math.*, **1**, No. 4, 463–467, 2007.
2. **M. A. Nielsen** and **I. L. Chuang**, *Quantum Computation and Quantum Information*, Cambridge Univ. Press, Cambridge, 2000.
3. **A. M. Childs**, **R. Cleve**, **E. Deotto**, **E. Farhi**, **S. Gutmann**, and **D. A. Spielman**, Exponential algorithmic speedup by quantum walk, in *Proc. 35th ACM Symp. Theory of Computing, San Diego, CA, USA, June 9–11, 2003*, 59–68, ACM, New York, 2003.
4. **J. Kempe**, Discrete quantum walks hit exponentially faster, in S. Arora, K. Jansen, J. D. P. Rolim, and A. Sahai, eds., *Approximation, Randomization, and Combinatorial Optimization. Algorithms and Techniques (Proc. 7th Int. Workshop on Randomization and Approximation Techniques in Comp. Sci.*,

*Princeton, NJ, USA, Aug. 24–26, 2003*), 354–369, Springer-Verl., Berlin, 2003  
(Lect. Notes Comput. Sci., Vol. 2764).

5. **I. M. Khuziev**, Quantum walk in symmetric Cayley graph over  $\mathbb{Z}_2^n$ , 2013  
(Cornell Univ. Libr. e-Print Archive, arXiv:1305.6849).

*Ilnur M. Khuziev*

Received

3 March 2014

Revised

26 August 2014